

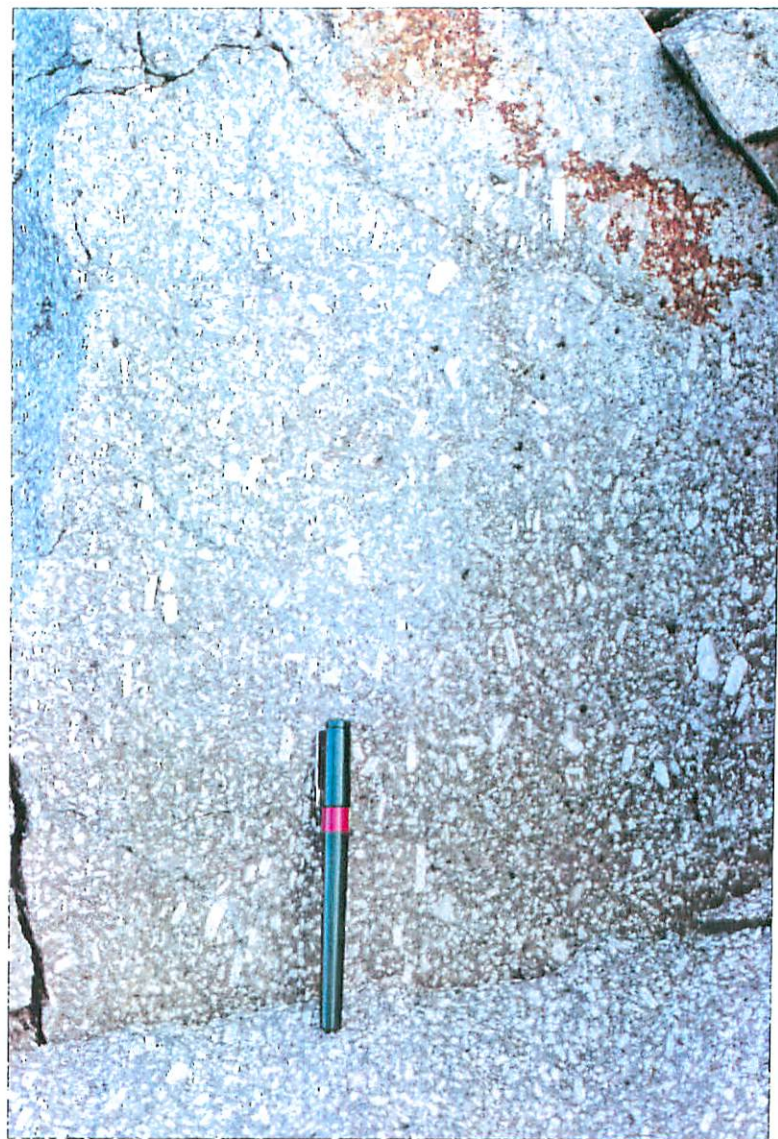
MP-9349. Borde N. enfriado de dique de pórfido granítico en contacto con adamellita biotítica de grano medio con anfíbol y alanita. Esquina NO. de la muralla de Avila.



MP-9350. Borde S. enfriado del dique anterior en contacto con el dique (izda.) y la adamellita encajante (derecha).



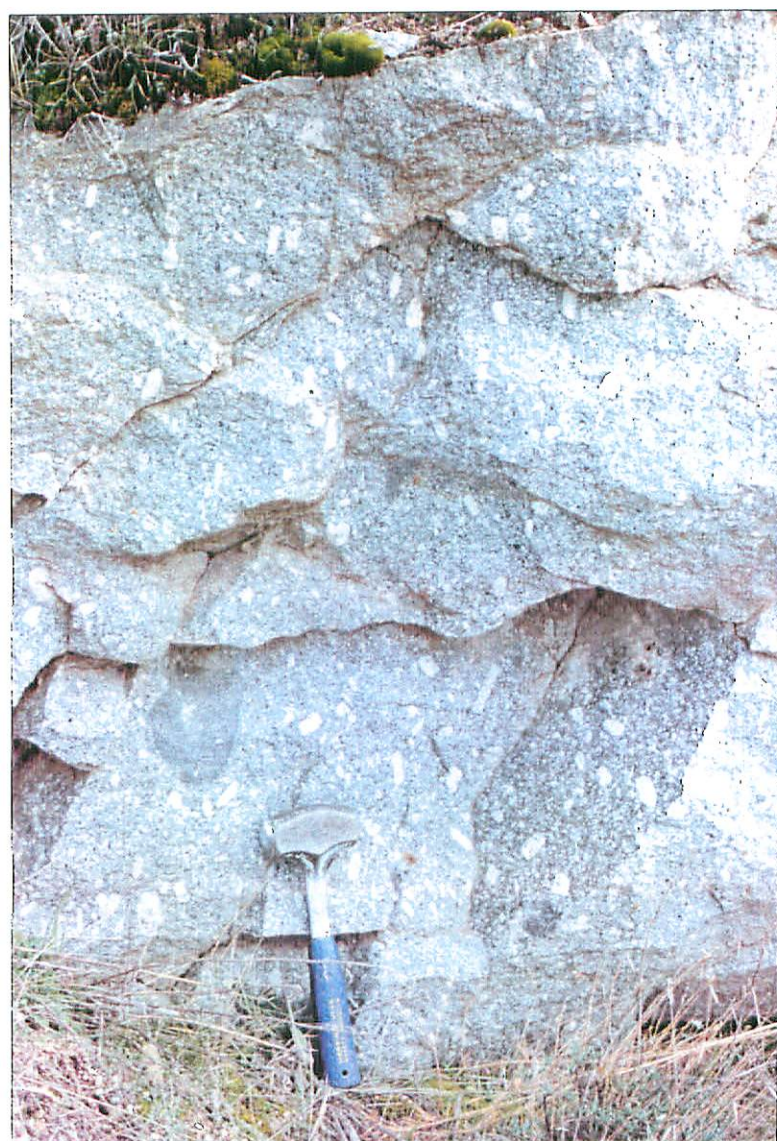
MP-9351. Detalle del borde S. enfriado del dique anterior.



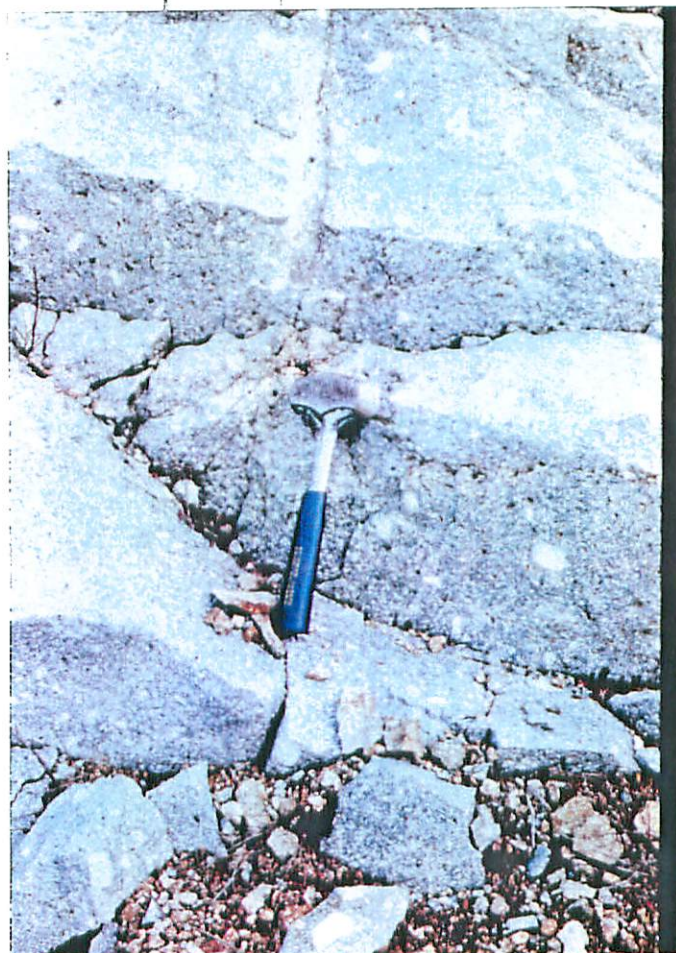
MP-9354. Orientación de flujo subvertical de fenocristales de feldespato en dique de pórfido al N. del Valle de Ambles.



MP-9352. Dique de pórfido de tendencia adamellítica con enclave microgranular oscuro. Haz central de diques de pórfido. Al S. del Valle de Amblés.



MP-9353. Dique de pórfido de tendencia adamellítica con enclave microgranular oscuro con orientación subvertical de flujo de los fenocristales de feldespato.



MP-9355. Aspecto de un dique de pórfido adamellítico del haz central. S. del Valle de Amblés. ...

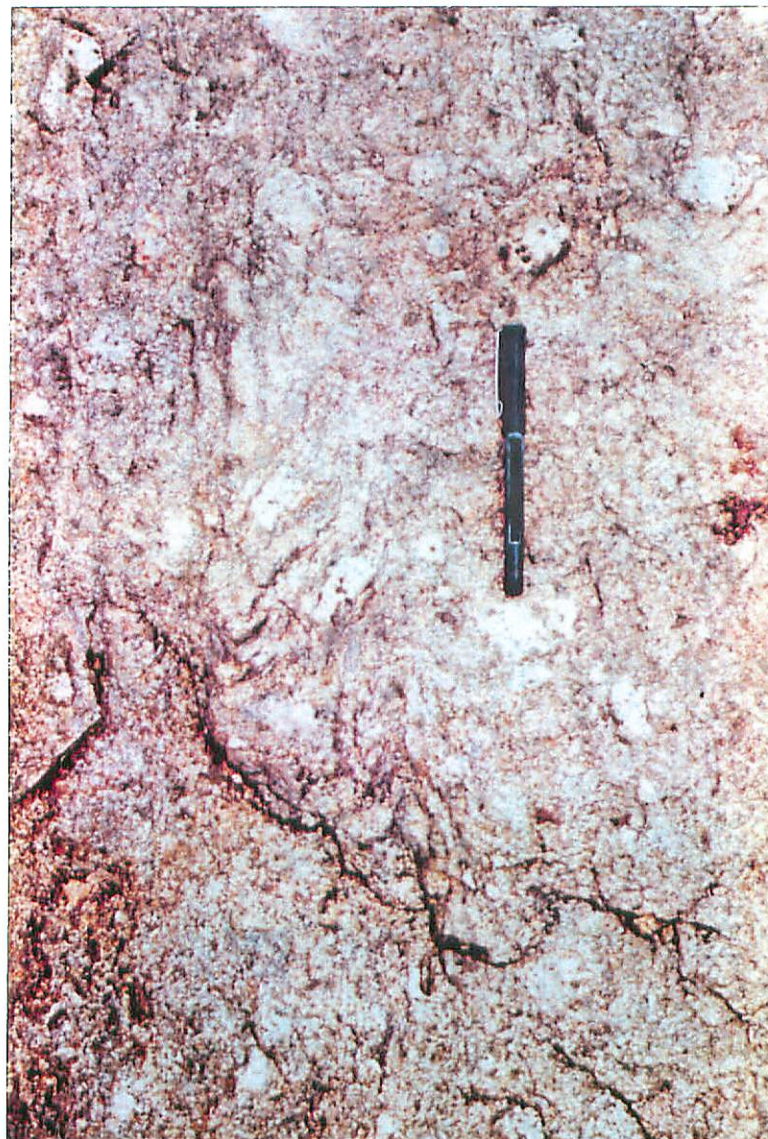


*FUERA DE ZONA, PASA A SOG - CARDENCHOSA.

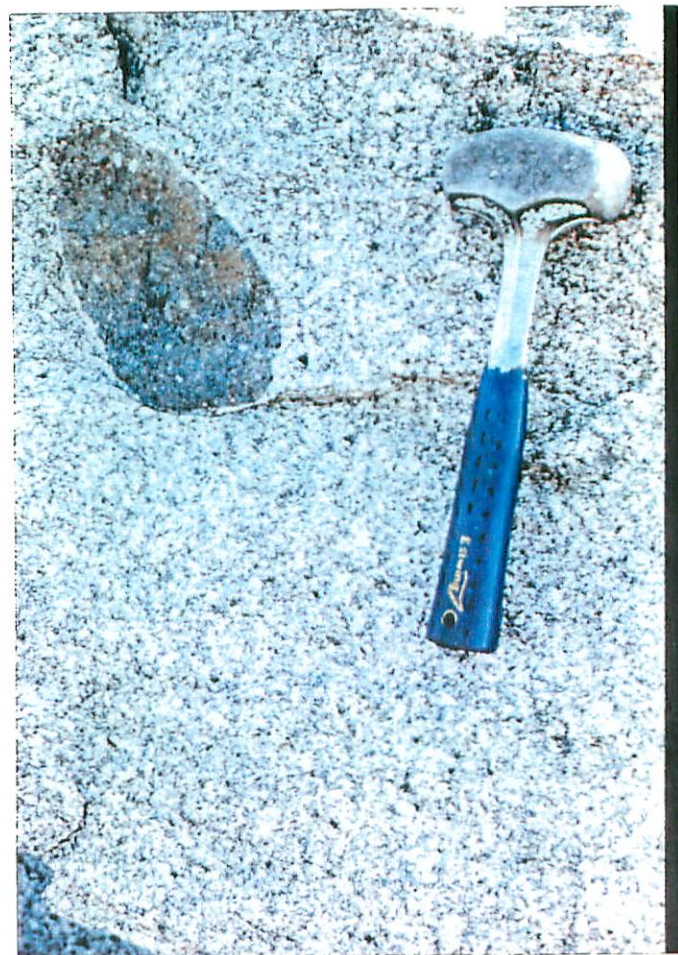
MP-9337. Ortoneis glandular biotítico. Esquina NE. de la Hoja.



MP-9338. Ortoneis glandular biotítico y removilizado migmatítico.



MP-9339. Foliación relictica plegada en removilizado migmatítico de los ortoneises biotíticos glandulares.



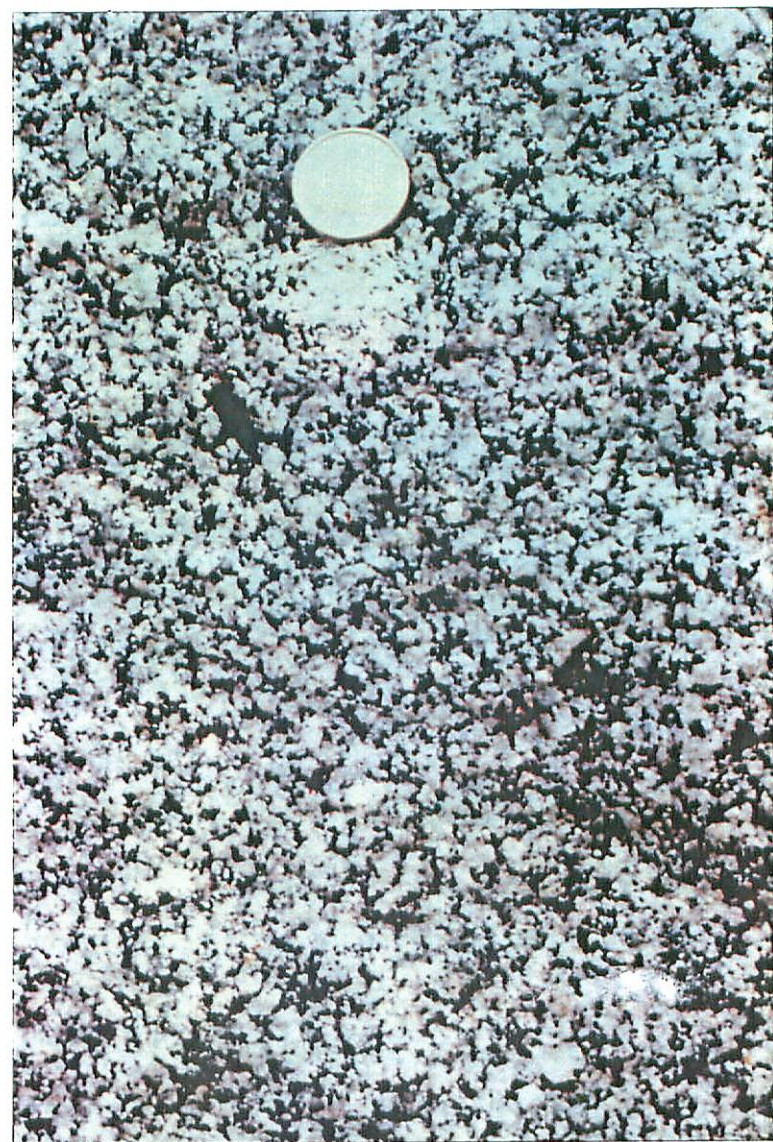
MP-9341. Adamellita biotítica de grano medio-grueso. Facies con anfíbol y alanita al S. del Valle de Ambles.



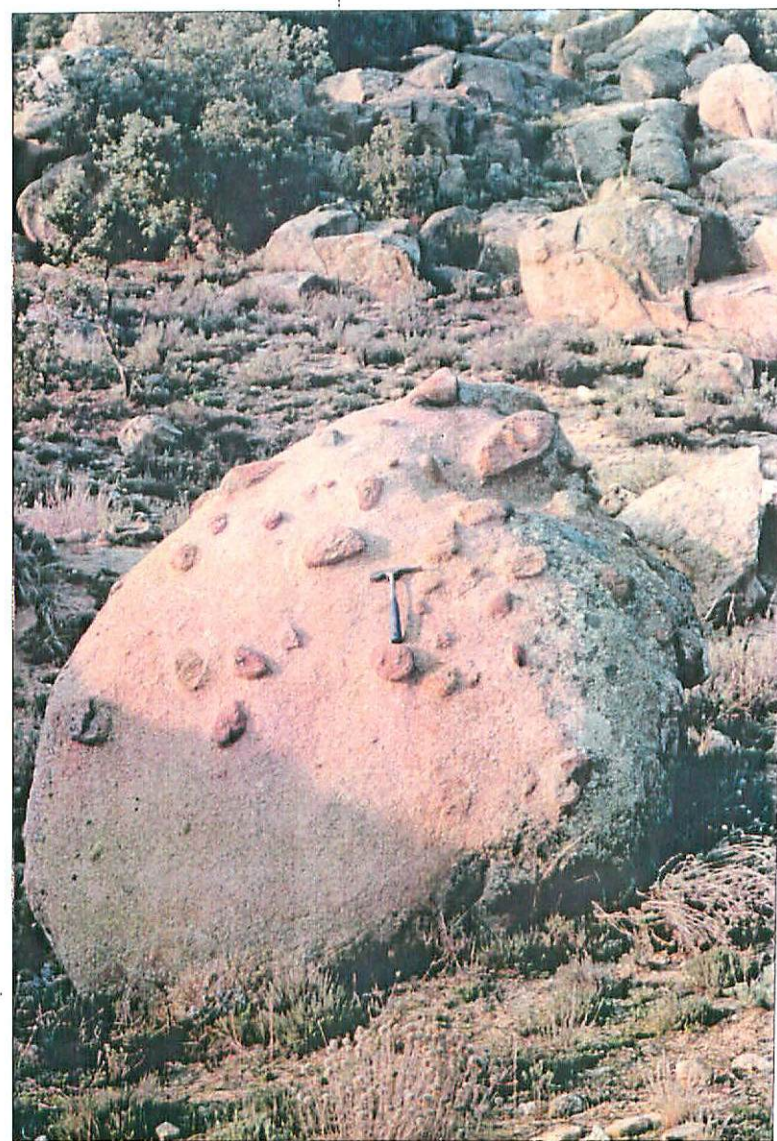
MP-9342. Adamellita biotítica. Facies de grano medio-grueso con alanita y anfíbol. Al S. del Valle de Amblés.



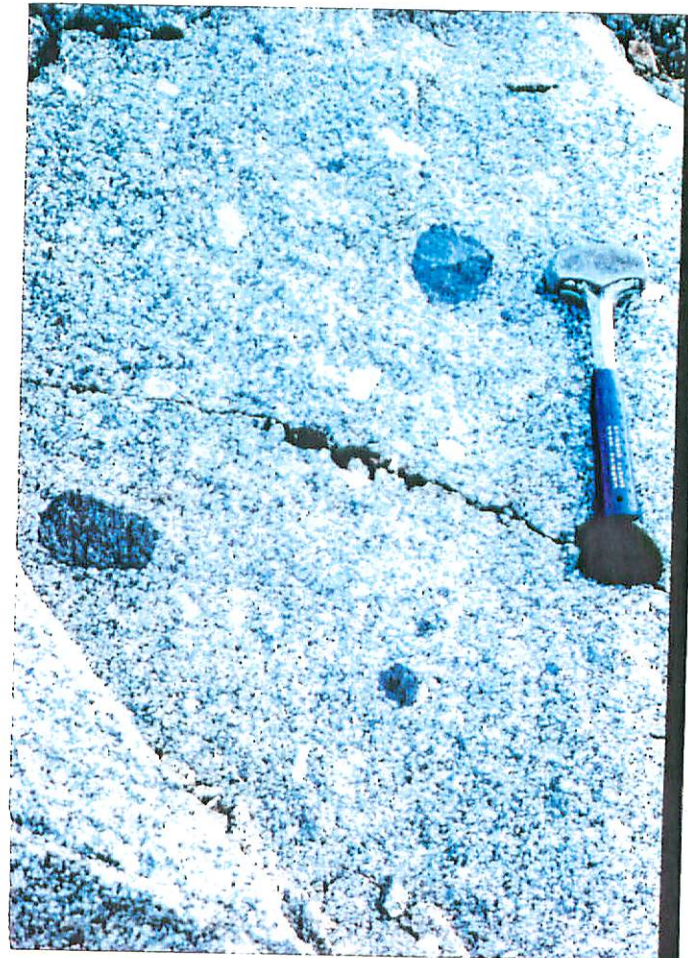
MP-9344. Cavidad miarolítica en adamellita biotítica con alanita y anfíbol. Al E. de Muñopepe (N. del Valle de Amblés).



MP-9343. Adamellita biotítica de grano medio-grueso. Facies con alanita y anfíbol. Al E. de Muñopepe (N. del Valle de Amblés).



MS-9242. Parte de un "pasillo de enclaves" en la adamellita biotítica en facies con anfíbol y alanita.



MP-9345. Adamellita biotítica porfidica. Carretera de Avila a El Escorial.



MP-9347. Adamellita biotítica porfídica. N. de El Herradón de Pinares.



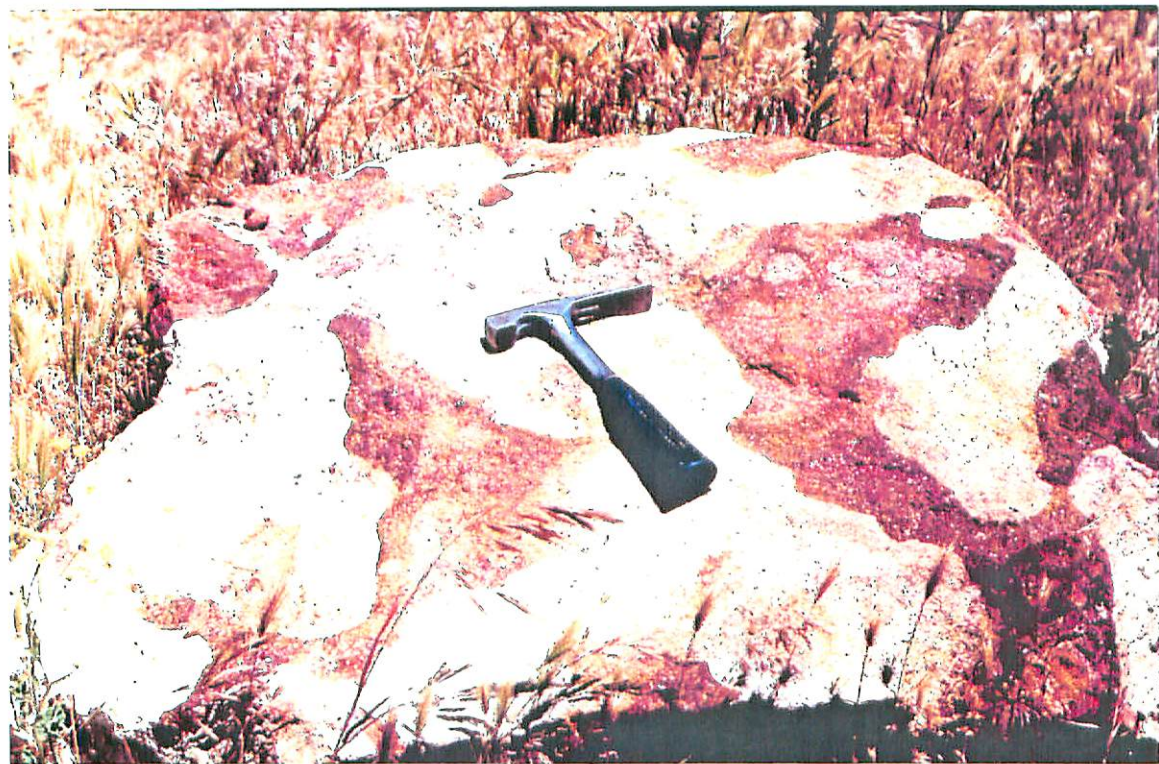
MP-9348. Bandeado magmatítico en la adamellita biotítica porfídica. 1,2 Kms. al S. de San Bartolomé de Pinares.



MP-9346. Enclave microporfídico y enclaves metamórficos en adamellita biotítica porfidíca. 1 Km. al SO. de las Casas de Valdeavía.



MS-9226. Reticulado "celular" de las ferruginizaciones sobre las adamellitas alteradas de las proximidades de Avila.



MS-9227. Otro aspecto similar al anterior.



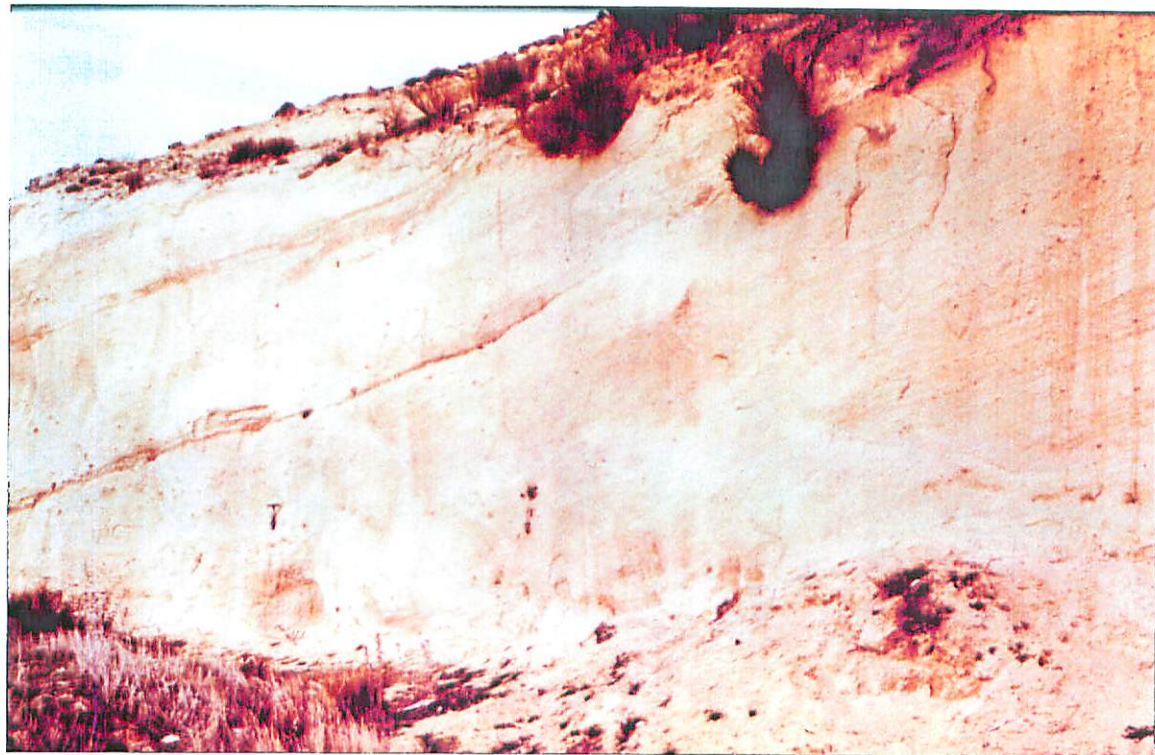
MS-9228. Corte transversal a ferruginizaciones bandeadas horizontales. Nótese las diferencias con las dos imágenes anteriores.



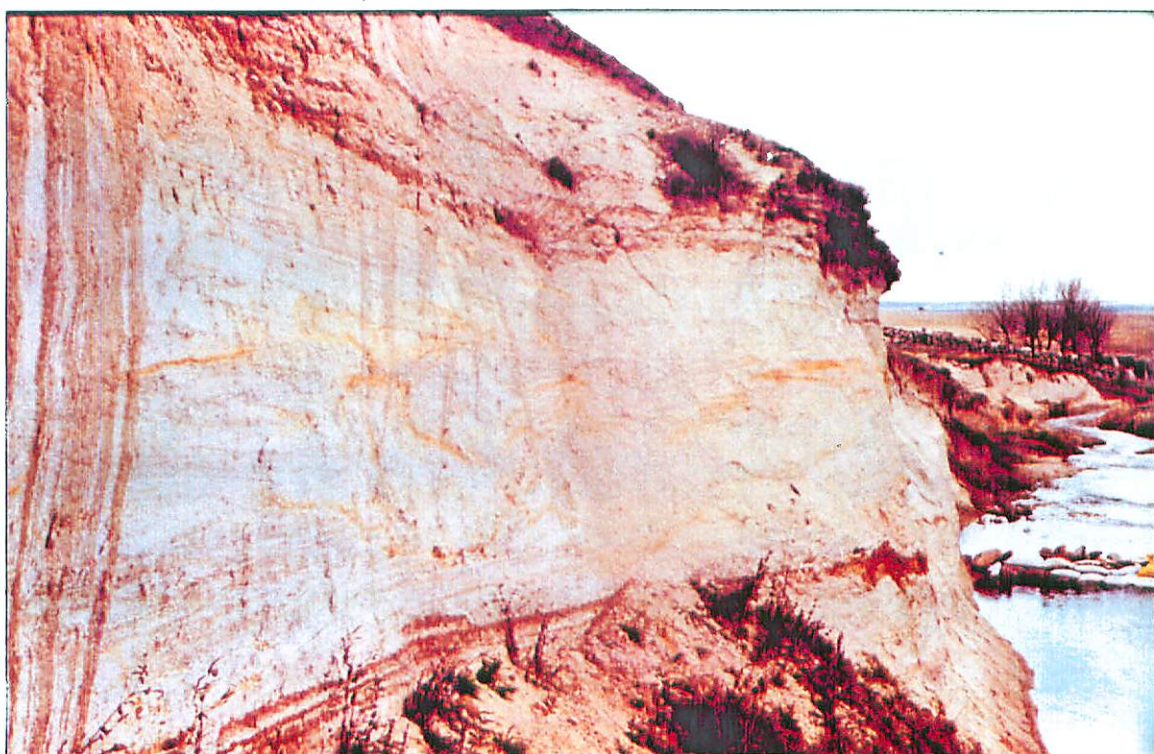
MS-9229. Aspecto general del afloramiento de areniscas de la unidad cartográfica 18. Veáse la extensión tan reducida del mismo. E. de Avila.



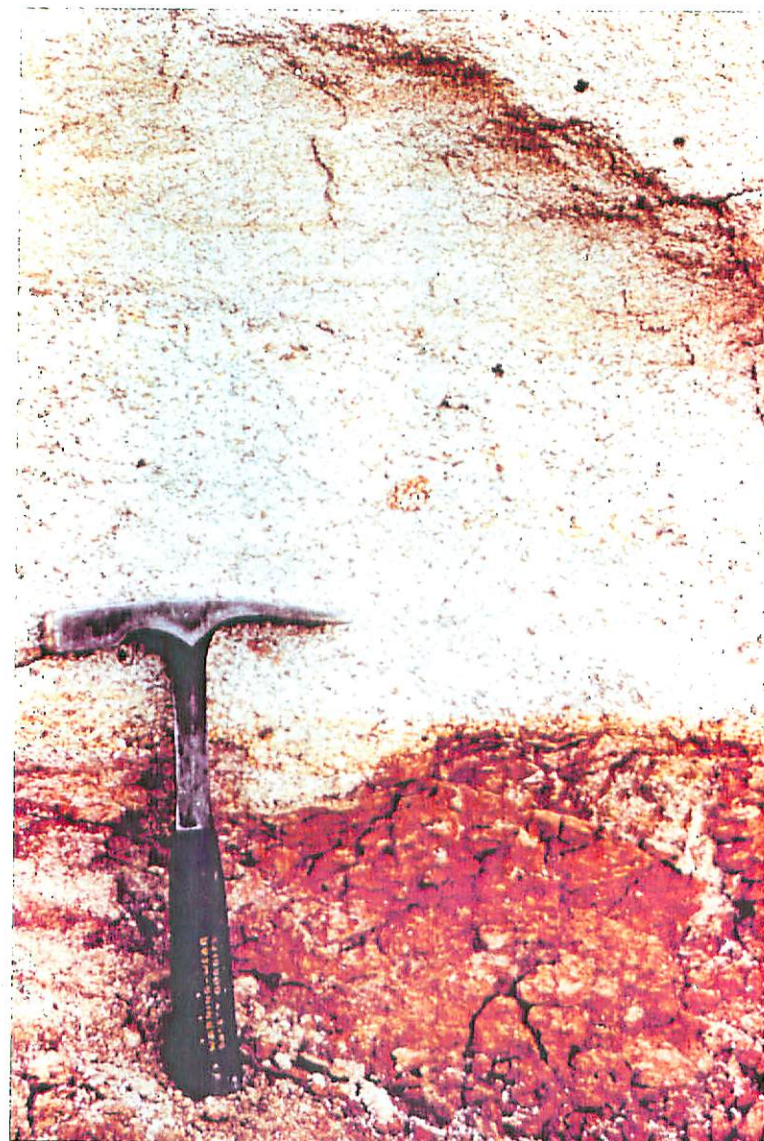
MS-9230. Afloramiento de la unidad cartográfica 19 en Aldea del Rey Niño. Aspecto general.



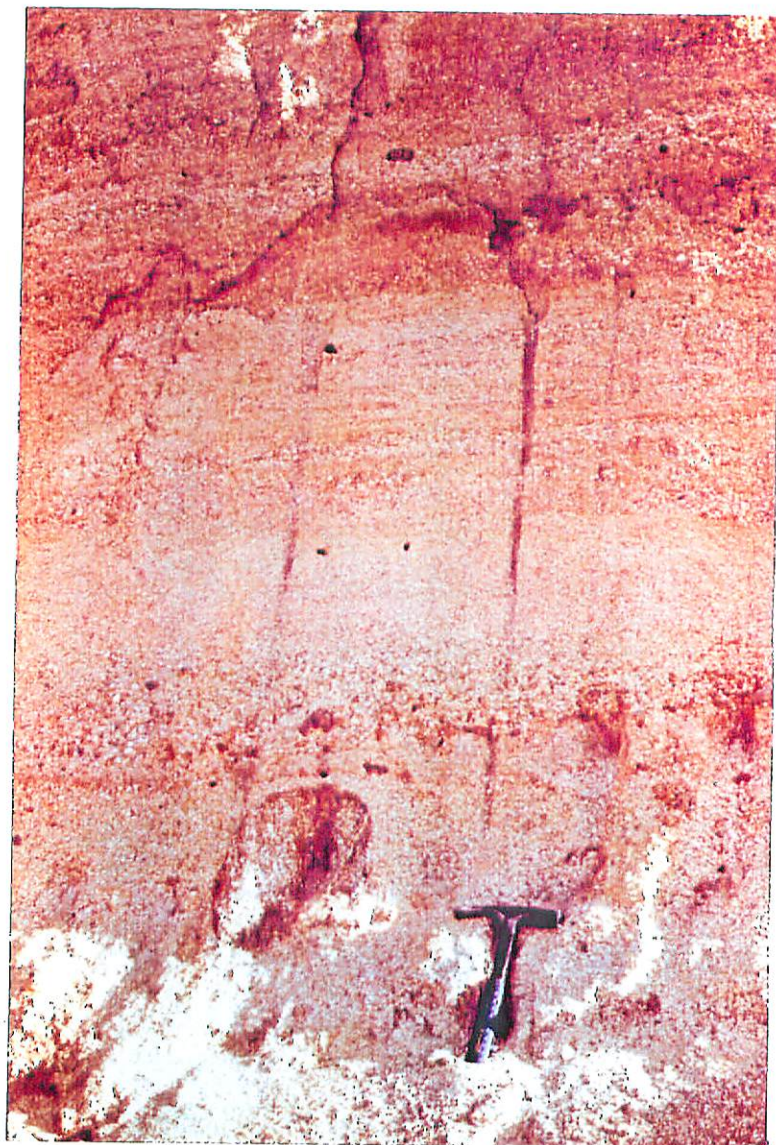
MS-9231. Afloramiento de la unidad cartográfica 19 en Aldea del Rey Niño. Detalle.



MS-9233. Afloramiento de la unidad 19 junto al arroyo de Gemional (E. de Aldea del Rey Niño).



MS-9234. Afloramiento de la unidad 19 junto al arroyo de Gemional (E. de Aldea del Rey Niño). Detalle.



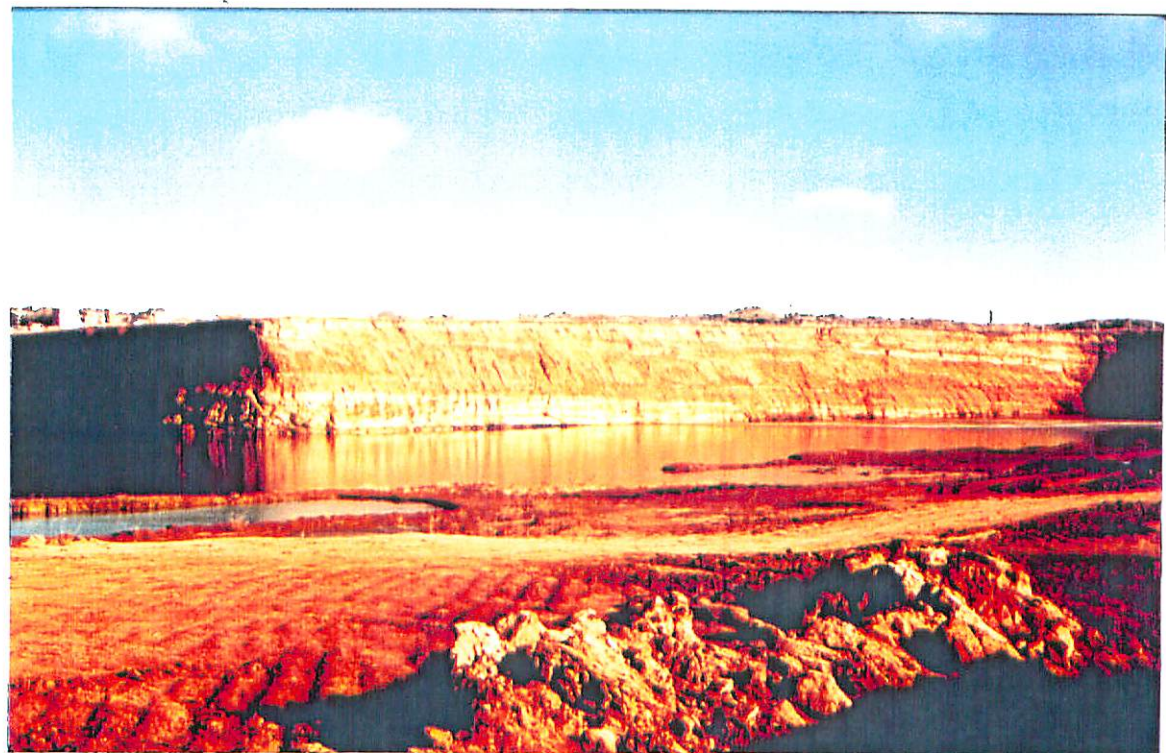
MS-9232. Afloramiento del Cerro Palomar (Gemuno) de la misma unidad 19.



MS-9235. Arcosas y arcillas rojas de la unidad cartográfica 21 (Gemuño).



MS-9236. Aspecto general de una pequeña cantera en la unidad cartográfica 22, donde se aprecia el buzamiento de las capas. E. de Avila.



MS-9237. Cantera del S. de Avila en la unidad 22.



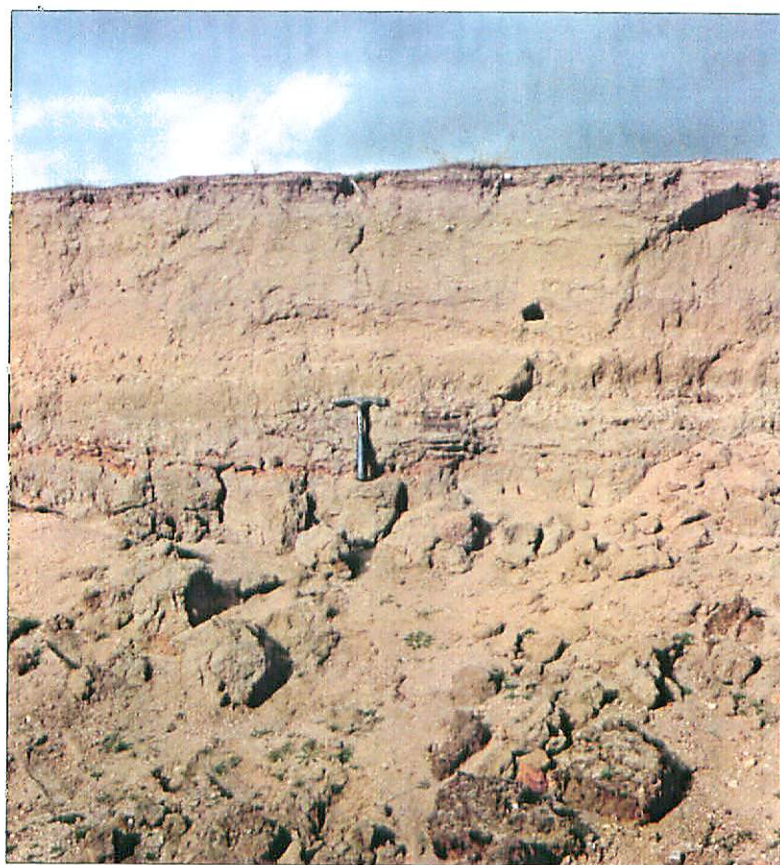
MS-9238. Cantera en las proximidades de la estación de Guimor-
condo. Pueden verse conglomerados cuaternarios discordantes sobre
arcosas de la unidad 24.



MS-9239. Cantera en las proximidades de la estación de Guimor-
condo. Detalle.



MS-9240. Afloramiento junto al río Adaja de depósitos de llanura de inundación (unidad 30). Nótese el nivel bioturbado con óxidos de hierro.



MS-9241. Aspecto de la misma unidad de la fotografía anterior, pero tomada a varios Kms. de distancia. Véase la similitud de las facies.



MP-9356. Sección de pliegues "en vaina" (sheath folds) de D2 en milonitas recristalizadas de la Sierra de Yemas.



MP-9357. Milonitas de D2 recristalizadas en la Sierra de Yemas.



MP-9358. Interferencia de pliegues de D2 y D3 en metasedimentos al SE. de San Bartolomé de Pinares.



MP-9340. Diques de aplita desplazados por fracturas N144E 60°E senestras. Unos 500 m. al NO. de las Casas de la Fresneda.

























